

京都大学大学院 学生員 竹東 正孝
 京都大学工学部 正員 中川 博次
 京都大学工学部 正員 江本 哲郎

まえがき 河床波の形成過程を
 りゆっくりした過程²⁾、たとえば
 平坦河床から平衡状態の河床波に
 発達するのに図-1に示すように時間
 を要する。このため流量変化の時間スケル
 との関係によっては応答遅れが無視
 できない場合がある。前報¹⁾では正法
 波状の微小流量変動に対する河床
 波のスケル(波高)と抵抗(水深)の位
 相差中、中を模討したが、その結果を図示(前報では数式表示のみ)
 すると図-2のようになる(図中の α は振幅、添字H, R, Qはそれぞれ A
 河床波高、水深、流量についての値を表す、また ψ_u : 流速係数、 θ : 波形
 勾配、 $\delta = H_0/R$ 、 H_0 : 平衡状態の波高、 ω : 流量変動の角周波数、
 T_{EX} : 河床波の発達時間スケルの一つである)。前報¹⁾では流量
 変化時間スケルと河床波の発達時間スケルとか同じオーダーのとき
 有意な現象が現れることが明らかにされるなどとの成果が得られたが、その扱
 いはかなり理想化された条件のもとでの議論であり、実際上のこの種の問題に直
 用するにはまだ多くの問題が残されている。本報ではこれらを模討する第一
 歩として図-3に示されるような流量増加パターンについて水路実験を行った
 結果とその考察について述べる。なお本報の対象も lower regime に限られている。
実験方法と実験結果 実験は長さ9m、幅33cmの水路(路床勾配1/500)²⁾、中央粒径0.5mmのほぼ均一砂を用いて行った。各Caseについて数runsの実験を実施し、その平均値を各Caseの実験値とした。とくにCase 3~5は同一流量への増加に要する時間(T_f と表記)を変えたもの²⁾、これらの比較が今回の実験の主体である。 $T_f = 0$ の場合を流量急増実験、その他を流量漸増実験と呼び、前者はいわゆる河床波の発達過程の実験²⁾と同様²⁾、今回の実験でも波高 H 、波長 L (初期波長 L_0 を減じて整理)は図-4にその一例が示されるように時間の平方根に比例して増加することが認められた(波高について、 H_1 : crest to crest, H_2 : trough to troughで定義)。また流量急増実験²⁾の流砂量の時間的変化は図-5に示すように顕著²⁾ない。なお、これらの実験は路床勾配が一定²⁾、各時刻²⁾ほぼ等流状態が得ら

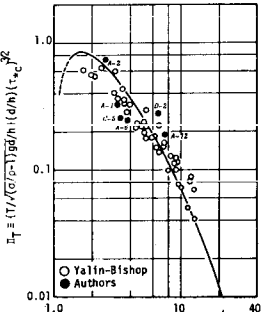


図-1 河床波の発達時間

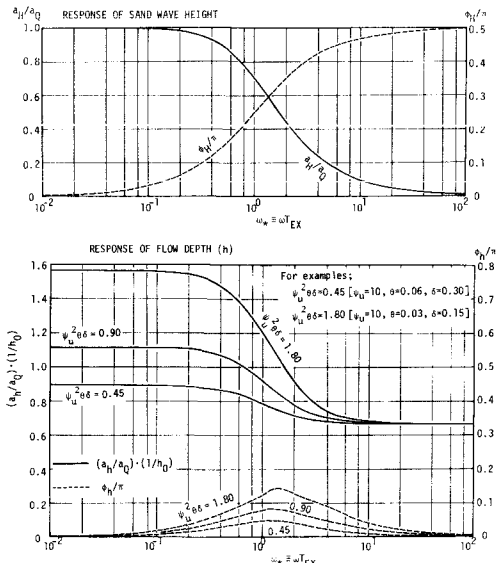


図-2 河床波高、水深の流量変動への応答

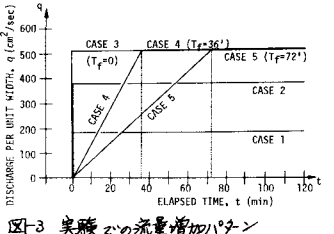
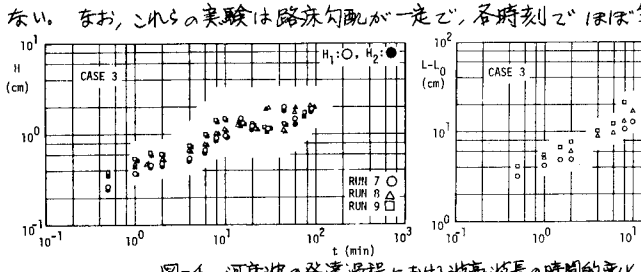
図-3 実験²⁾の流量増加パターン

図-4 河床波の発達過程における波高・波長の時間的変化

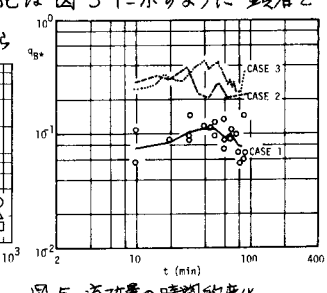


図-5 流砂量の時間的変化

れるよう下流端堰が適時調整されており、全抵抗の増加は水深の変化として現れる。流量急増実験時の水深の時間的変化は図-6に漸増実験の結果と併示されているが初期を除いてほぼ一定のようである。一方、流量漸増実験の結果は波長・波高について図-7、流砂量について図-8に示される。図-7の破線は単に平均的な値を連ねたもの、図-8のそれ本達れが無いとして各時刻の流量に対する流砂量を流砂量式から算出したものである。なお、図-9には河床波スケルと流量の関係も示したが、 $T_f=36$ 分の場合、顕著なレーブが存在するようである。

考察 図-4より河床波の発達過程の大部分についてスケール

の時間的変化はほぼ次式で表わされる。 $\Pi(t) = K\sqrt{t} + \Pi_0 \dots (1)$ 添字0は初期の値を表す。こより $\frac{d\Pi}{dt} = K^2/2 \dots (2)$ が得られ、Kの推進に著者らの以前のモデル¹⁾を適用すると、 $KH = \sqrt{2f_s(\alpha)} \cdot \sqrt{\theta_B(1-\theta_0)} (H > H_e)$, $KL = \sqrt{2f_s(\alpha)} \cdot \sqrt{\theta_B(1-\theta_0)\theta} (L < L_e)$, $KH = KL = 0 (H \geq H_e, L \geq L_e) \dots (3)$ であり、ここに $f_s(\alpha) \approx 1.08$, θ_B : 流砂量, θ_0 : 砂の空隙率である、添字0は平衡値を示す。式(2), (3)の検証結果が図-10, 11である。

$$\Pi(t+\Delta t) = \frac{d\Pi}{dt} \Pi(t), K(t) \times \Delta t + \Pi(t) \dots (4)$$

こうして計算された結果が図-12で、半近似として流量変化に対する河床形状応答が予測できるか今後改良すべき点も多い。なおこの計算にもとづく予測関係を図-9にも点線で示した。今後更に系統的研究を続ける予定である。

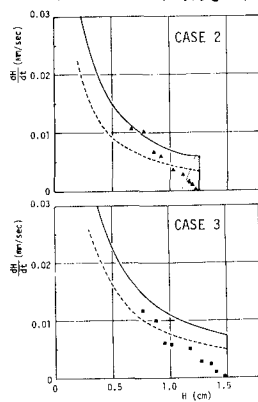


図-10 波高の増加率

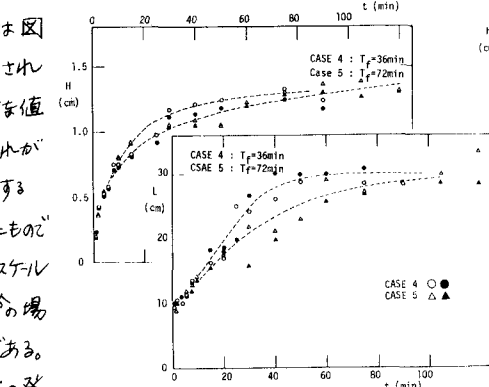


図-7 流量漸増時の河床波スケルの変化

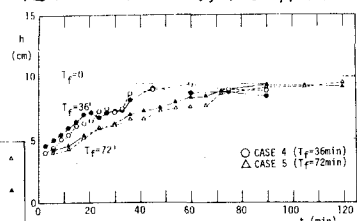


図-6 平均水深の時間的変化

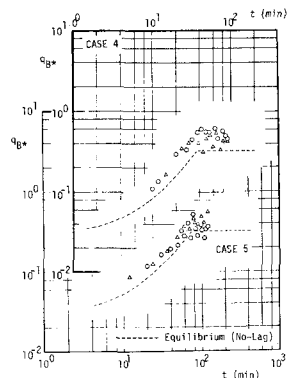


図-8 減増実験での流砂量の変化

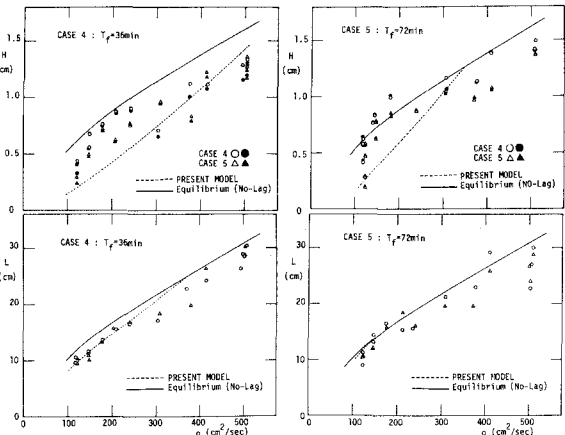


図-9 河床波のスケルと流量の関係

参考文献

- 1) 中川・辻本: 25回水講, 1981.
- 2) 中川・辻本: 京大が学研年報, 1976.

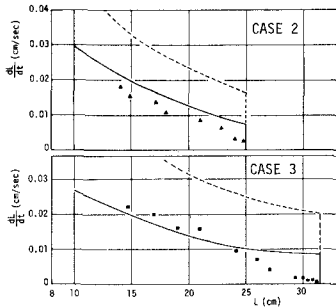


図-11 波長の増加率

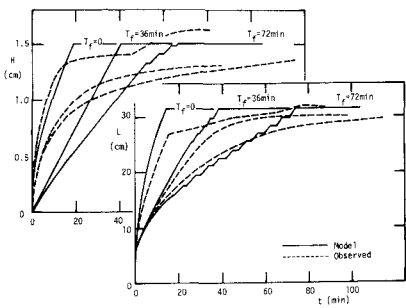


図-12 モデルの検証